

## К ТЕПЛОВОМУ РАСЧЕТУ ЯКОРЯ ЗАКРЫТЫХ НЕВЕНТИЛИРУЕМЫХ МАШИН ПОСТОЯННОГО ТОКА

М. Н. УЛЯНИЦКИЙ, В. В. САЛОМАТОВ

(Представлена научным семинаром кафедр электрических машин и общей электротехники)

В закрытых машинах постоянного тока максимальную тепловую нагрузку обычно имеет обмотка якоря. В данной работе приводится метод расчета температурного поля по длине обмотки якоря с учетом тепловой связи с коллектором и отвода тепла по валу и через пазовый клин. Температура в поперечном сечении паза и в радиальном направлении пакета считается постоянной; передача тепла в радиальном направлении пакета и теплоотдача с его торцевой поверхности не учитываются.

Расчет проводится на одно зубцовое деление. Обмотка рассматривается как стержень, имеющий семь участков (рис. 1): верхние и нижние выводы к коллектору, пазовая часть, части лобовых соединений со стороны привода и коллектора, находящиеся под изоляцией бандажа, и торцевые части лобовых соединений со стороны привода и коллектора.

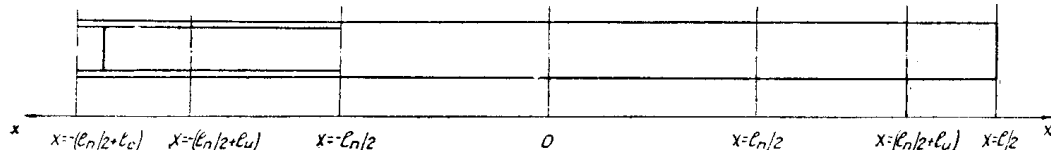


Рис. 1. Расчетная схема обмотки якоря.

В расчете предполагается, что от торцевых частей лобовых соединений со стороны коллектора, закрытых сверху выводами секций, и от нижних выводов обмотки к коллектору тепло отводится только вдоль проводов.

В соответствии с уравнениями тепловых балансов [4] уравнения кривых распределения температур по длине отдельных участков обмотки якоря имеют следующий вид:

для торцевой части лобовых соединений со стороны коллектора и нижних выводов

$$\theta = -\frac{B}{2} x^2 + T_1 x + T_2. \quad (1)$$

для остальных частей обмотки, принимая  $\frac{A'}{m^2} = A$ ,

$$V = C_1 \exp(mx) + C_2 \exp(-mx)$$

Значения постоянных интегрирования определяются при следующих граничных условиях:

1) для пазовой части обмотки

$$x = -\frac{l_{\Pi}}{2} \quad \vartheta_{\Pi} = \vartheta_1, \quad x = \frac{l_{\Pi}}{2} \quad \vartheta_{\Pi} = \vartheta_2,$$

$$C_{1(2)} = \frac{(\vartheta_{2(1)} - A_1) \exp m_1 \frac{l_{\Pi}}{2} - (\vartheta_{1(2)} - A_1) \exp \left(-m_1 \frac{l_{\Pi}}{2}\right)}{2 \sin m_1 l_{\Pi}},$$

$$A_1' = \frac{k_c q_c + q_m}{\lambda_m f_{\Pi}}, \quad k_c = \frac{1}{1 + \frac{(\alpha b_k + \Lambda_B) \Delta_{\Pi}}{\lambda_{\Pi} \prod}}, \quad \Lambda_B = \frac{\alpha_B \lambda_B l_B \pi D_B}{z(\alpha_B \delta_B l_B + \lambda_B l_{\Pi})},$$

$$m_1^2 = \frac{\Lambda}{\lambda_m f_{\Pi}}, \quad \Lambda = \Lambda_{Fe} + \Lambda_K, \quad \Lambda_{Fe} = k_c (\alpha b_k + \Lambda_B), \quad \Lambda_K = \frac{\alpha b_{sh} \lambda_k}{\alpha \Delta_k + \lambda_k};$$

2) для участка лобовых соединений со стороны привода под изоляцией бандажа

$$x = \frac{l_{\Pi}}{2} \quad \vartheta_L = \vartheta_1, \quad x = \frac{l_{\Pi}}{2} + l_u \quad \vartheta_L = \vartheta_4,$$

$$C_1 = \frac{\vartheta_4 - \vartheta_2 \exp(-m_2 l_u) - A_2 [1 - \exp(-m_2 l_u)]}{2 \exp m_2 \frac{l_{\Pi}}{2} \sin m_2 l_u}, \quad m_2^2 = \frac{\Lambda_L}{\lambda_m f_{\Pi}},$$

$$C_2 = \frac{\vartheta_2 \exp m_2 l_u - \vartheta_4 + A_2 (1 - \exp m_2 l_u)}{2 \exp \left(-m_2 \frac{l_{\Pi}}{2}\right) \sin m_2 l_u}, \quad A_2' = \frac{q_m}{\lambda_m f_{\Pi}},$$

$$\Lambda_L = \frac{b_L \alpha \lambda_L}{\alpha \Delta_L + \lambda_L};$$

3) для участка лобовых соединений со стороны коллектора под изоляцией бандажа

$$x = -\frac{l_{\Pi}}{2} \quad \vartheta_{LK} = \vartheta_2, \quad x = -\left(\frac{l_{\Pi}}{2} + l_u\right) \quad \vartheta_{LK} = \vartheta_3,$$

$$C_1 = \frac{\vartheta_1 \exp m_3 l_u - \vartheta_3 + A_3 (1 - \exp m_3 l_u)}{2 \exp \left(-m_3 \frac{l_{\Pi}}{2}\right) \sin m_3 l_u},$$

$$C_2 = \frac{\vartheta_3 - \vartheta_1 \exp(-m_3 l_u) - A_3 [1 - \exp(-m_3 l_u)]}{2 \exp m_3 \frac{l_{\Pi}}{2} \sin m_3 l_u},$$

$$m_3^2 = \frac{\Lambda_{LK}}{\lambda_m f_{\Pi}}, \quad \Lambda_{LK} = \frac{\alpha \lambda_L b_{LK}}{\alpha \Delta_L + \lambda_L}, \quad A_3' = A_2';$$

4) для торцевой части лобовых соединений со стороны привода

$$x = \frac{l_{\Pi}}{2} + l_u \quad \vartheta_T = \vartheta_4, \quad x = \frac{l_{\Pi}}{2} \quad \frac{d\vartheta_T}{dx} = 0,$$

$$C_{1(2)} = \frac{\vartheta_4 - A_4}{2 \cosh m_4 l_T} \exp \left[ (\mp) m_4 \frac{l_{\Pi}}{2} \right], \quad m_4^2 = \frac{\alpha b_T}{\lambda_m f_{\Pi}}, \quad A_4' = A_2'.$$

5) для верхних выводов обмотки к коллектору

$$x = -\frac{l_n}{2} \vartheta_B - \vartheta_1, \quad x = -\left(\frac{l_n}{2} + l_c\right) \vartheta_B = \vartheta_K,$$

$$C_1 = \frac{\vartheta_1 \exp m_5 l_c - \vartheta_K + A_5(1 - \exp m_5 l_c)}{2 \exp \left(-m_5 \frac{l_n}{2}\right) \sinh m_5 l_c},$$

$$C_2 = \frac{\vartheta_K - \vartheta_1 \exp(-m_5 l_c) - A_5[1 - \exp(-m_5 l_c)]}{2 \exp m_5 \frac{l_n}{2} \sinh m_5 l_c},$$

$$m_5^2 = \frac{\Lambda_c}{\lambda_m f_c}, \quad \Lambda_c = \frac{\alpha \lambda_c B_c}{\alpha \Delta_c + \lambda_c}, \quad A_5' = A_2';$$

6) для нижних выводов к коллектору

$$x = -\left(\frac{l_n}{2} + l_c\right) \quad \vartheta_H = \vartheta_K, \quad x = -\frac{l_n}{2} \quad \vartheta_H = \vartheta_1,$$

$$T_1 = \vartheta_1 \frac{1}{l_c} - \vartheta_K \frac{1}{l_c} - \frac{B_1}{2} (l_n + l_c),$$

$$T_2 = \vartheta_1 \left(1 + \frac{l_n}{2l_c}\right) - \vartheta_K \frac{l_n}{2l_c} - \frac{B_1}{2} \left(\frac{l_n}{2}\right)^2 \left(1 + \frac{2l_c}{l_n}\right), \quad B_1 = A_2';$$

$$7) \text{ для торцевой части лобовых соединений со стороны коллектора}$$

$$x = -\left(\frac{l_n}{2} + l_u\right) \quad \vartheta_{TK} = \vartheta_3, \quad x = -\frac{1}{2} \frac{d\vartheta_{TK}}{dx} = 0,$$

$$T_1 = -B_2 \frac{1}{2}, \quad T_2 = \vartheta_3 - \frac{B_2}{2} \left(\frac{l_n}{2} + l_u\right) \left(\frac{1}{2} + l_T\right),$$

$$B_2 = A_2'.$$

Значения  $v_1, v_2, v_3, v_4, v_K$  определяются из условия непрерывности тепловых потоков в сечениях обмотки  $x = \pm \left(\frac{l_n}{2} + l_n\right)$ ,  $x = \pm \frac{l_n}{2}$  и уравнения теплового баланса коллектора.

$$\vartheta_K \alpha_K S_K = q_K + \lambda_m f_c \left( \frac{d\vartheta_B}{dx} + \frac{d\vartheta_H}{dx} \right)_{x=-\left(\frac{l_n}{2} + l_c\right)} = -\left(\frac{l_n}{2} + l_c\right).$$

$$\vartheta_1 = \frac{\left(\frac{a_1}{f_n} P_6 P_7 + P_5 P_9\right)(P_1 P_3 - 1) + (P_1 P_4 + P_2) \frac{P_5}{m_2}}{\left(P_5 P_8 - \frac{a_1}{f_n} P_6^2\right)(P_1 P_3 - 1) - \frac{a_2}{a_1} P_5 P_1},$$

$$\vartheta_2 = \frac{m_2 \vartheta_1 \frac{a_2}{a_1} P_1 + (P_1 P_4 + P_2)}{m_2 (P_1 P_3 - 1)},$$

$$\vartheta_3 = \frac{m_3 \vartheta_1 + (a_5 + B_1 l_T) \sinh m_3 l_u}{m_3 \cosh m_3 l_u},$$

$$\vartheta_4 = \frac{\vartheta_2 + \frac{P_2}{m_2}}{P_1}, \quad \vartheta_K = \lambda_m \frac{\vartheta_1 P_6 + P_7}{P_5}.$$

Здесь

$$a_1 = \frac{\operatorname{sh} m_1 l_n}{m_1}, \quad a_2 = \frac{\operatorname{sh} m_2 l_n}{m_2}, \quad a_3 = \frac{\operatorname{sh} m_5 l_c}{m_5},$$

$$a_4 = \frac{A_1}{a_1} (\operatorname{ch} m_1 l_n - 1), \quad a_5 = \frac{A_2}{a_2} (\operatorname{ch} m_2 l_n - 1),$$

$$a_6 = \frac{A_5}{a_3} (\operatorname{ch} m_3 l_c - 1), \quad P_1 = \operatorname{ch} m_2 l_n + a_2 m_4 \operatorname{th} m_4 l_t,$$

$$P_2 = (a_5 + m_4 A_4 \operatorname{th} m_4 l_t) \operatorname{sh} m_2 l_n, \quad P_3 = \operatorname{ch} m_2 l_n + \frac{a_2}{a_1} \operatorname{ch} m_1 l_n,$$

$$P_4 = (a_1 + a_2) \operatorname{sh} m_2 l_n, \quad P_5 = \left( \frac{\alpha_k S_k}{\lambda_m} + \frac{f_c}{\operatorname{th} m_5 l_c} + \frac{f_c}{l_c} \right) \lambda_m^2,$$

$$P_6 = \left( \frac{1}{a^3} + \frac{1}{l_c} \right) \lambda_m f_c, \quad P_7 = (a_6 + 0.5 B_1 l_c) \lambda_m f_c + q_k,$$

$$P_8 = \left( \frac{f_n}{a_1} \operatorname{ch} m_1 l_n + \frac{f_c}{a_3} \operatorname{ch} m_5 l_c + f_l m_3 \operatorname{th} m_3 l_n + \frac{f_c}{l_c} \right) \frac{a_1}{f_n},$$

$$P_9 = \left( f_n a_4 + f_l a_5 + f_c a_6 + 0.5 f_c B_1 + \frac{a_5 + B_1 l_t}{\operatorname{ch} m_3 l_n} f_l \right) \frac{a_1}{f_n}.$$

Проверка рассмотренного метода расчета показала, что расчетные значения температур имеют достаточно близкое совпадение с данными опыта (рис. 2). За температуру окружающей среды в расчетах принималась средняя температура корпуса [5].

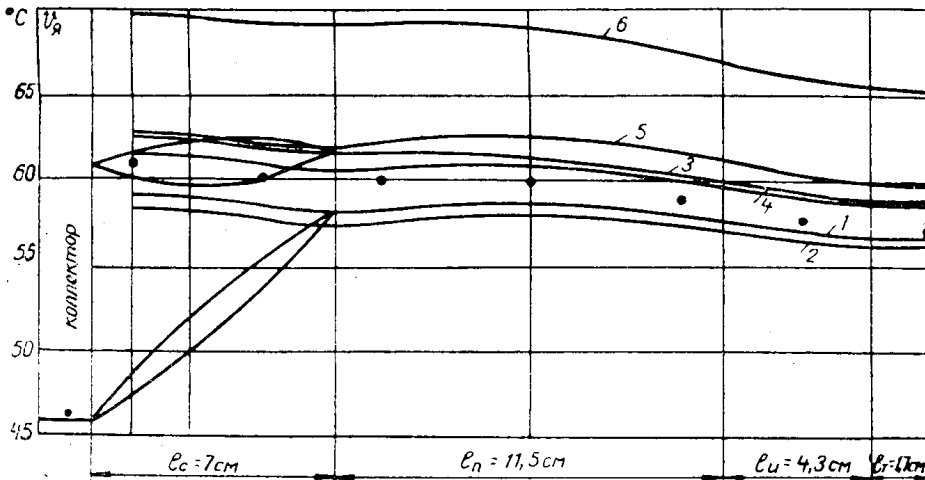


Рис. 2. Распределение температур по длине обмотки якоря закрытого невентилируемого двигателя типа ПБ42.  
( $2f_c/f_n = 0.17$ ,  $\theta_k = 45^\circ\text{C}$ )

- — опыт. Расчетные кривые:
- 1 — основной вариант;  $2 - \theta_k = 0.8 \theta_{\text{я}} \text{ср}$ ,  $2f_c f_n = 0.3$ ;  $3 - \theta_k = \theta_{\text{я}} \text{ср}$ ;
- 4 — без учета отвода тепла по валу;
- 5 — без учета отвода тепла через пазовый клин;
- 6 — без учета тепловой связи с коллектором, отвода тепла по валу и через пазовый клин.

Для выяснения влияния на характер распределения температуры тепловой связи якоря с коллектором, отвода тепла по валу и через пазовый клин был проведен ряд расчетных вариантов.

Теплообмен между коллектором и обмоткой якоря определяется в основном разностью их температур, а также соотношением площадей поперечных сечений секций и выводов. Длина последних в маломощных машинах изменяется в сравнительно небольших пределах и поэтому играет меньшую роль.

Наиболее сильную тепловую связь с коллектором при прочих равных условиях будут иметь обмотки с жесткими секциями и всыпные обмотки низковольтных машин, у которых отношение площадей поперечных сечений секций достигает значения 0,5—1,0.

По данным сравнительных расчетов, при всыпных обмотках с  $2f_c/f_p \leq 0,3$  и  $\vartheta_{kp} = (0,8 \div 1,2) \vartheta_{je,sp}$  коллектор оказывает влияние в основном лишь на средний уровень температуры. Пренебрежение теплообменом с коллектором в этих случаях приводит к изменению разности между значениями температур в отдельных точках по длине обмотки якоря примерно на 1—2 %.

При расчете отвода тепла по валу основное затруднение вызывает определение величины теплового сопротивления контактной зоны между валом и пакетом якоря. Контакт между твердыми телами всегда имеет дискретный характер. Причем даже при сравнительно сильном сжатии площадь фактического контакта составляет незначительную долю от площади соприкосновения, определяемой геометрическими размерами соприкасающихся тел [1].

Величина теплового сопротивления контактной зоны вал-пакет в общем случае зависит от чистоты обработки сопрягаемых поверхностей, класса точности и характера посадки, твердости материалов, а также от возможных технологических отклонений при изготовлении машины (несоосность, эллипсность, перекос и т. д.).

В связи с неопределенностью условий, характеризующих тепловое сопротивление контактной зоны, расчет отвода тепла по валу можно провести только приближенно.

Для более полного представления об участии вала в отводе потерь якоря были выполнены расчеты при крайних случаях:  $\delta_B = 0$  и  $\delta_B = \infty$ . Полученные при этом значения температур показали расхождения, не превышающие 2—2,5 %, а характер температурного поля практически оставался неизменным (рис. 2).

По данным сравнительных расчетов отвод тепла через пазовый клин влияет в основном лишь на уровень температуры обмотки (рис. 2). Погрешность расчета  $\vartheta_{je,sp}$  в этом случае достигает 5—6 %. Пренебрежение в расчетах зависимостью потерь в меди от непостоянства температуры по длине обмотки вносит погрешность примерно 0,1—0,2 %.

Среднее превышение температуры обмотки якоря можно получить из следующего выражения:

$$\vartheta_{je,sp} = \frac{-0,5 l_n + l_u}{l_n} \vartheta_{tk,sp} + \frac{-0,5 l_n}{-0,5 l_n + l_u} \vartheta_{l,sp} + \frac{0,5 l_n}{-0,5 l_n} \vartheta_n + \frac{0,5 l_n + l_u}{0,5 l_n} \vartheta_l + \frac{0,5 l}{0,5 l_n + l_u} \vartheta_r$$

Здесь, принимая  $l_c = l_t + l_u$ ,

$$\vartheta_{tk,sp} = \frac{f_{tk}}{f_n} \vartheta_{tk} + \frac{f_c}{f_n} \vartheta_H + \frac{f_c}{f_n} \vartheta_B, \quad \vartheta_{l,sp} = \frac{f_l}{f_n} \vartheta_l + \frac{f_c}{f_n} \vartheta_H + \frac{f_c}{f_n} \vartheta_B.$$

Среднее превышение температуры пакета якоря определяется из соотношения:

$$\vartheta_{Fe,sp} = K_c \left( q_c \frac{\Delta_n}{\lambda_n} + \frac{1}{l_n} \int_{-0,5 l_n}^{0,5 l_n} \vartheta_n dx \right).$$

## **Заключение**

Приведенные аналитические соотношения достаточно точно отражают в количественном и качественном отношении рассматриваемое физическое явление: распределение температуры по длине обмотки якоря закрытых невентилируемых машин постоянного тока при стационарном тепловом режиме. Учитывая это, можно рекомендовать разработанный метод расчета для использования в аналитических исследованиях влияния различных факторов на средний уровень и характер распределения температур по длине обмотки якоря.

## **ЛИТЕРАТУРА**

1. Ю. П. Шлыков, Е. А. Ганин. Контактный теплообмен, Госэнергоиздат, 1963.
2. А. И. Борисенко, А. И. Яковлев. Методика теплового расчета быстроходных электродвигателей постоянного тока, Известия вузов, «Электромеханика», 1965, № 5.
3. С. С. Кутателадзе, В. М. Борищанский. Справочник по теплопередаче, Госэнергоиздат, 1959.
4. М. Н. Ульянчик. Исследование нагрева закрытых машин постоянного тока с естественным охлаждением, Диссертация, ТПИ, 1966.
5. М. Н. Ульянчик. К тепловому расчету закрытых электрических машин с естественным охлаждением, «Электричество», 1965, № 5.